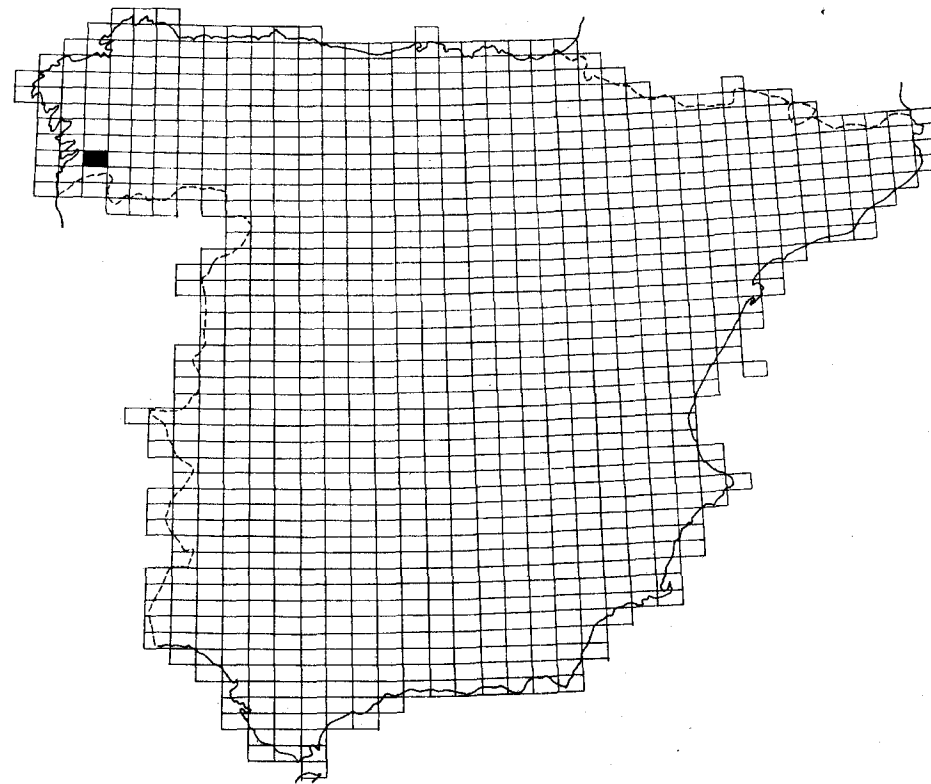


**GEOTEHIC S.A.**  
INGENIEROS CONSULTORES

# **MAPA GEOLOGICO NACIONAL**

**Escala 1:50.000**

## **MAGNA**



**MAGNA - PUENTEAREAS 05-H  
224**

Documentación Complementaria - FOTOGRAFIAS



Estación RN - 72. Detalle de pequeños enclaves biotíticos deformados, en granodiorita tardía. Plutón de Porriño, al N de Puenteareas.

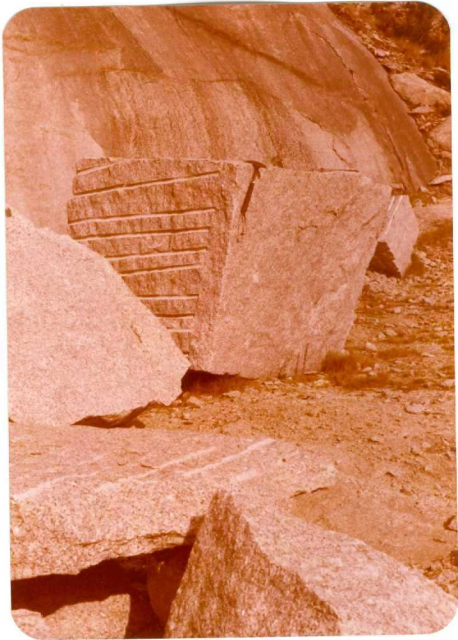


Estación RN-73. Aspecto textural de la facies granodiorítica ( $2 \gamma \eta^{2,3}$ ) del  
batolito tardío de Porriño. (Cantera al NE de Puenteareas).



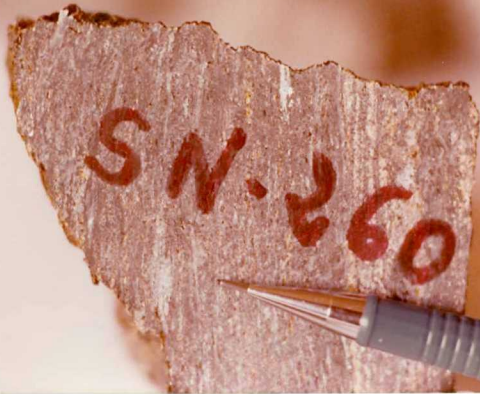
Estación RN-73a. Bloques de granodiorita tardía ( $2\gamma\eta^2,3$ ) utilizada como roca ornamental y de sillería. La explotación se lleva a cabo por fracturación de grandes bolos (al fondo).

Estación RN-74. Bloques de granodiorita biotítico-anfibólica ( $2\gamma\eta^2,3$ ) (Granodiorita tardía del Porriño), utilizados para roca de construcción y ornamental. (Cantera al NE de Renteareas).





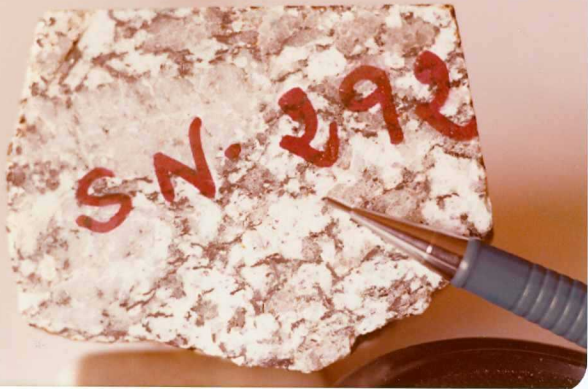
Muestra de mano, se observa el paleosoma en hiladas micáceas con sillimanita y el neosoma granítico. Migmatita ( $\Psi^2$ ) . Estación SN-226.



Paleosoma de migmatita de grano fino con delgados niveles graníticos (neosoma).  
Muestra de mano. Estación SN-260.



Estrías en una superficie de desgarre en granito de dos micas. Estación SN-270.



Muestra de mano de granodiorita con megacristales de feldespato potásico ( $\gamma\eta^2$ ) granodiorita precoz de Avión. Estación SN-292.



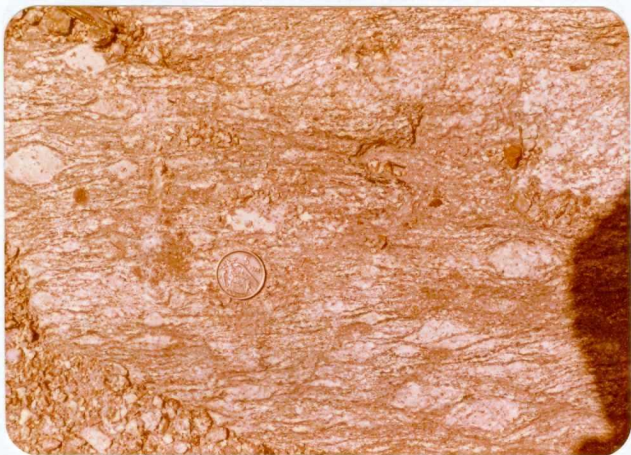
Muestra de mano de Micasquistos de la Formación PC-0 con inyecciones granitoideas según la esquistosidad de Fase I. Estación SN-322.



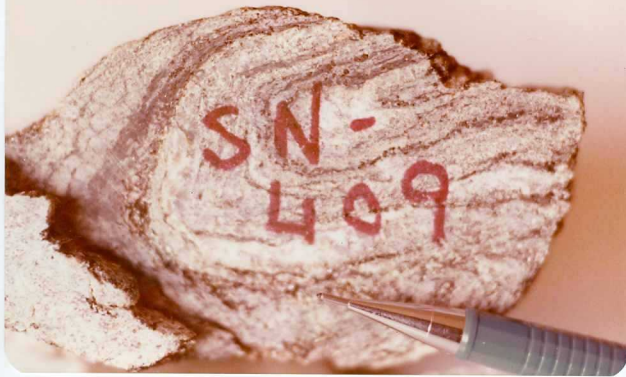
Muestra de mano de migmatita ( $\Psi^2$ ). Se observa claramente el bandeadío migmatítico. Estación SN-326.



Muestra de mano de Micasquisto de dos micas. Formación PC-0. Estación. SN-347.



Textura gneísica con grandes metablastos de feldespatos (glándulas). Gneis glandular (N<sub>5</sub>) Estación SN-393.



Charnela de un pliegue de Fase II en micasquistos de dos micas. Se observan abundantes cristales de turmalina que indican fenómenos pneumatolíticos por la cercanía de granitos de dos micas. Estación SN-409.



Micasquistos de la Formación PC-0 con lechos de cuarzo microplegados por la fase II  
Estación SN 411.



Gneis glandular con fenómenos de migmatización (NS). Estación SN-480.



Detalle de las grandes glándulas de feldespato en gneis glandular (N<sup>2</sup>). Estación 480a.



Afloramiento de microcuarzodiorita ( $4\gamma q^2$ ) de color oscuro, y granito de dos micas, ( $2-3\gamma^2$ ) de color claro en el cauce del río Tea. Estación SN-510.



Detalle del afloramiento anterior. El lápiz indica la orientación de la “fabric” coincidente de los dos tipos de materiales. Estación SN-510a.



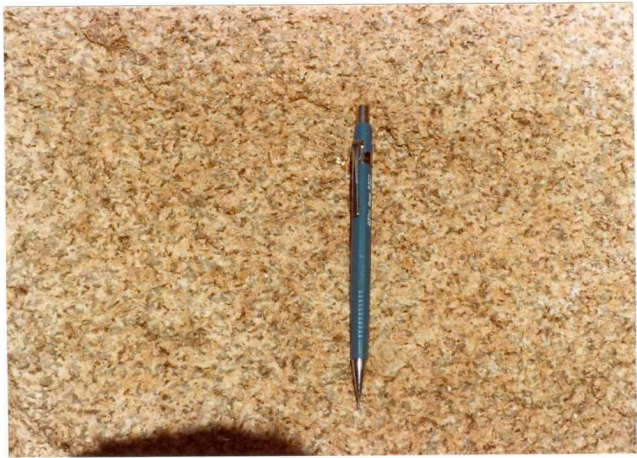
Detalle de la relación entre la microcuarzodiorita ( $4\gamma q^2$ ) y granito de dos micas ( $2-3\gamma^2$ ) en el cauce del río Tea. Los fragmentos de microcuarzodiorita, encanjan como las piezas de un puzzle, separados por granitos de dos micas. Estación SN-510b



Detalle de la Fotografía anterior. No se aprecian bordes de reacción ni de enfriamiento entre las dos rocas. Estación SN-510c.



Cuarzo redondeado con corona de anfíboles a su alrededor, en microcuarzodiorita ( $4 \gamma q^2$ ). Estación SN-510d.



Aspecto textural del granito de dosmicas de grano grueso ( $\frac{b}{2} \gamma^2$ ). Estación SN-545.

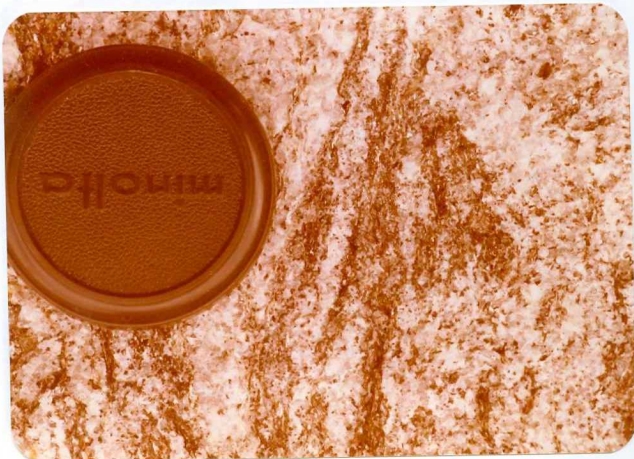


Enclave paralelepípedo de esquistos sin asimilar, englobado por migmatitas y granitos inhomogéneos ( $\psi^2$ ). Estación SN 601.



Détalle de la Fotografía anterior. Estación SN-601a.

Detalle de estructuras en "schlieren" e hiladas micáceas de migmatitas y granitos  
inhomogéneos ( $\Psi^2$ ). Estación SN-601b.





Falla de desgarre con estrías subhorizontales que indican el movimiento de cizalla.  
Estación SN-602.



Detalle de la fotografía anterior. Estación SN-602a.



Granodiorita precoz ( $\gamma_1$ ) en primer término, a la derecha del camino, y granito de dos micas de grano grueso en segundo plano ( $\frac{b}{2} \gamma^2$ ). Estación SN-603.



Panorámica desde la pista forestal al Faro de Avión. En primer plano granodiorita con megacristales de feldespato potásico, con disyunción en bolas ( $\gamma\gamma$ ). (Granodiorita precoz de Avión). Al fondo granodiorita biotítica anfibólica ( $2\gamma\gamma^2/3$ ) (granodiorita tardía de Ribadavia), mostrando también su típica disyunción en bolas. Entre ambos materiales, en la parte cubierta de pinos, metasedimentos de la formación PC-0. Estación SN-604.



Aspecto porfídico de la granodiorita precoz de Avión con grandes fenocristales de feldespato potásico. Estación SN-605.



Igual que la anterior en detalle. Estación SN - 605a.